

- [10] WANG H B, LIU D C, SHE Z H, et al. Study on extraction, antioxidant activity and stability of soy isoflavone[J]. Food Sci(食品科学), 2004, 25(1): 111-114.
- [11] XU H D, QIN S H. Ultrasonic-assisted extraction and *in vitro* antioxidant activity evaluation of polysaccharides from *Chaenomeles sinensis* (Thouin) Koehne [J]. Food Sci(食品科学), 2010, 31(10): 106-111.
- [12] LIANG Q L, WEN Y M, XIE Y H, et al. Study on antioxidation activities of polysaccharides from *Panope generosa* *in vitro* [J]. Her Med(医药导报), 2013, 32(2): 171-173.

收稿日期: 2013-07-30

外源性磷酸肌酸对缺血豚鼠心室肌细胞钠通道的影响

时向民¹, 李天德², 王玉堂², 单兆亮², 杨庭树²(1.解放军总医院海南分院心内科, 海南 三亚 572000; 2.解放军总医院心内科, 北京 100853)

摘要: 目的 观察不同浓度外源性磷酸肌酸(PCr)对豚鼠缺血心室肌细胞钠通道(I_{Na})电流的影响, 探讨其预防缺血性心律失常的电生理学机制。方法 心室肌细胞经酶解从豚鼠左心室获得, 膜片钳全细胞模式记录 I_{Na} 电流, 通过灌注模拟缺血液并充以 95% N_2 +5% CO_2 的混合气体建立缺血模型。将 PCr 加入模拟缺血液中分别配成 5, 10, 20, 30 $mmol\cdot L^{-1}$ 浓度。将细胞分成 6 组, 分别予模拟缺血液、含有 5, 10, 20, 30 $mmol\cdot L^{-1}$ PCr 的模拟缺血液和台氏液灌流, 后者充以 95% O_2 +5% CO_2 的混合气体。10 min 后记录各组的峰电流及电流密度。结果 与单纯模拟缺血液组相比, 含有 5, 10, 20, 30 $mmol\cdot L^{-1}$ PCr 的模拟缺血液组 I_{Na} 峰电流及电流密度均明显增加($P<0.05$)。10 $mmol\cdot L^{-1}$ PCr 模拟缺血液组与 5, 20, 30 $mmol\cdot L^{-1}$ 组之间具有统计学差异($P<0.05$)。结论 PCr 能增加缺血时受抑制的 I_{Na} 峰电流及电流密度, 这可能是其预防缺血性心律失常的电生理学机制。PCr 在低浓度(0~10 $mmol\cdot L^{-1}$)对 I_{Na} 峰电流及电流密度的影响呈现明显的量效关系。

关键词: 磷酸肌酸; 钠电流; 缺血性心律失常; 膜片钳

中图分类号: R966

文献标志码: A

文章编号: 1007-7693(2014)01-0013-05

Effect of Exogenous Phosphocreatine on Natrium Current in Ischemic Ventricular Myocytes of Guinea Pig

SHI Xiangmin¹, LI Tiande², WANG Yutang², SHAN Zhaoliang², YANG Tingshu²(1. Department of Cardiology, the Affiliated Hainan Hospital of the General Hospital of PLA, Sanya 572000, China; 2. Department of Cardiology, the General Hospital of PLA, Beijing 100853, China)

ABSTRACT: OBJECTIVE To determine the effect of exogenous phosphocreatine(PCr) with different concentration on sodium (I_{Na}) current in guinea pig ischemic ventricular myocytes and to explore the antiarrhythmia mechanism in the treatment of ischemic heart disease. **METHODS** Ventricular myocytes were isolated enzymatically from left ventricular of guinea pig. Peak I_{Na} current was recorded using patch clamp techniques in the whole-cell configuration when myocytes had been superfused with normal Tyrode solution, simple ischemic solution, ischemic solution containing PCr with different concentration of 5, 10, 20, 30 $mmol\cdot L^{-1}$ for 10 minutes respectively. **RESULTS** Compared with simple simulated ischemic solution, peak I_{Na} current and current density of ischemic solution containing PCr of 5, 10, 20, 30 $mmol\cdot L^{-1}$ significantly improved($P<0.05$). There was statistical significance among ischemic solution containing PCr of 10 and 5, 20, 30 $mmol\cdot L^{-1}$ ($P<0.05$). **CONCLUSION** PCr can reverse the inhibition of I_{Na} current under ischemic condition, which can be the mechanism responsible for arrhythmia prevention in ischemia heart disease. PCr at concentration of 0~10 $mmol\cdot L^{-1}$ exerts significant dose-effect relationship.

KEY WORDS: phosphocreatine; natrium current; ischemia; patch clamp

在心室肌细胞, Na^+ 经钠通道(I_{Na})内流形成动作电位的上升支并决定动作电位在细胞间的传导, 心肌缺血时 I_{Na} 通道受到明显抑制, 0 相除极速减慢, 从而使细胞间传导速度降低, 在正常

细胞与缺血细胞之间产生折返, 诱发心律失常^[1]。上述变化与缺血时细胞内 ATP 水平下降影响离子通道特性有关。外源性磷酸肌酸(exogenous phosphocreatine, PCr)作为 ATP 来源的重要底物已

基金项目: 解放军总医院苗圃基金(08MP13)

作者简介: 时向民, 男, 博士, 副主任医师

Tel: 13661305765

E-mail: shixm301cardiac@hotmail.com

广泛应用于缺血性心脏病，多项临床研究已证实PCr能减少缺血急性期恶性心律失常的发生率。本实验意在研究PCr对豚鼠缺血心室肌I_{Na}电流的影响，探讨其预防心律失常作用的电生理学基础。

1 材料与方法

1.1 溶液与试剂

700A膜片钳放大器(美国Axonpatch); MP-285三维液压微操纵器(美国Sutter Instrument); P-97玻璃微电极拉制仪(美国Sutter Instrument)。

蛋白酶E(Merk公司);去脂肪酸牛血清白蛋白、牛磺酸(Taurine)、HEPES、CaCl₂、CsCl、L-glutamic acid、Choline-Cl、Na₂-ATP均为Sigma公司产品; PCr(意大利欧辉公司);其他试剂均为分析纯。

自行配制液体①台氏液: CaCl₂ 1.8 mmol·L⁻¹, NaCl 116 mmol·L⁻¹, KCl 5.4 mmol·L⁻¹, NaHCO₃ 15 mmol·L⁻¹, NaH₂PO₄ 1.4 mmol·L⁻¹, MgSO₄ 1 mmol·L⁻¹, Glucose 15 mmol·L⁻¹, Taurine 30 mmol·L⁻¹, HCl调pH至7.4。②无钙台氏液: 台氏液不加CaCl₂。③KB保存液: KOH 90 mmol·L⁻¹, L-glutamic acid 70 mmol·L⁻¹, Taurine 20 mmol·L⁻¹, KCl 30 mmol·L⁻¹, KH₂PO₄ 10 mmol·L⁻¹, HEPES 10 mmol·L⁻¹, Glucose 10 mmol·L⁻¹, EGTA 0.5 mmol·L⁻¹, KOH调pH至7.3。④记录钠电流的电极内液: CsCl 120 mmol·L⁻¹, EGTA 11 mmol·L⁻¹, HEPES 10 mmol·L⁻¹, Na₂-ATP 5 mmol·L⁻¹, MgCl₂ 5 mmol·L⁻¹, CaCl₂ 1.0 mmol·L⁻¹, Glucose 11 mmol·L⁻¹, CsOH调pH值至7.3。⑤记录钠电流的电极外液: NaCl 40 mmol·L⁻¹, Choline-Cl 100 mmol·L⁻¹, KCl 5.4 mmol·L⁻¹, MgCl₂ 1.0 mmol·L⁻¹, CaCl₂ 0.1 mmol·L⁻¹, HEPES 10 mmol·L⁻¹, Glucose 10 mmol·L⁻¹, NaHPO₄ 0.33 mmol·L⁻¹, 用NaOH将pH值调至7.3。⑥模拟缺血液: NaCl 123 mmol·L⁻¹, KCl 10 mmol·L⁻¹, NaH₂PO₄ 0.9 mmol·L⁻¹, MgSO₄ 0.5 mmol·L⁻¹, CaCl₂ 2.7 mmol·L⁻¹, NaOH调pH值到6.8。

1.2 豚鼠心室肌细胞的分离

30只健康成年豚鼠，♀♂不拘，体质量(310±45)g，由解放军总医院动物中心提供，实验动物合格证号: SCXK(京)2006-0009。将豚鼠击昏，开胸，迅速取出心脏置于4℃无钙台氏液中，去除脂肪及结缔组织。将主动脉固定于Langendorff灌流装置，经主动脉逆行灌流心脏。灌流压维持在7000Pa(70 cm水柱)，灌流液恒温至37℃并以95%O₂

+5%CO₂的混合气预先饱和10 min。无钙台氏液灌流5 min后改用含0.1 mg·mL⁻¹蛋白酶E, 0.5 mg·mL⁻¹去脂肪酸牛血清白蛋白, 150 μmol·mL⁻¹CaCl₂的低钙液灌流3~5 min，至心脏柔软膨大。将心脏取下，剪去心房，将心室肌剪碎置于上述含酶溶液中，37℃条件下温孵，轻轻搅拌5 min，经细胞滤网将细胞悬液用含钙1.8 mmol·L⁻¹的台氏液稀释5倍，室温(23~25℃)静置保存1 h备用。

1.3 膜片钳全细胞记录

根据Hamil方法^[2]进行膜片钳全细胞记录。将膜片钳放大器与计算机连接，刺激信号及电压输入信号的采集均由Pclamp软件(Clampex and Clampfit)控制，玻璃微电极一步拉制，充灌电极内液后尖端阻抗为2~4 MΩ。利用三维液压微操纵器进行细胞封接，封接电阻>1 GΩ，吸破细胞膜后补偿电容电流及电极串联电阻，形成全细胞记录。

1.4 I_{Na}电流记录方法

将分离的单个豚鼠心室肌细胞随机分为6组: 台氏液、模拟缺血液(简称缺血液), 缺血液+5, 10, 20, 30 mmol·L⁻¹PCr(Pcr浓度分别为1.25, 2.5, 5, 7.5 g·L⁻¹)。细胞破膜后稳定2 min开始灌流，速度为2 mL·min⁻¹，台氏液组充以95%O₂+5%CO₂的混合气体，其他各组充以95%N₂+5%CO₂的混合气体。10 min后记录各组的峰电流，电流强度用峰电流与去极化结束后稳态电流的差值表示，为消除细胞间误差以电流密度表示(电流/电容, PA/PF)。I_{Na}电流记录方法: 在电压钳状态下，以10 mV的阶跃使心室肌细胞由-90 mV的保持电压逐步去极化至+60 mV，刺激电压持续60 ms。以电流密度值为纵坐标，相应的刺激电压为横坐标，即得出I_{Na}的电流-电压曲线(I-V曲线)。

1.5 数据处理

正态分布数据以 $\bar{x} \pm s$ 表示，组间比较采用方差分析，应用SPSS 12.0软件进行分析，P<0.05表明差异具有统计学意义。

2 结果

2.1 台氏液灌流豚鼠心室肌细胞记录的I_{Na}电流

台氏液灌流组可记录出幅度较高的内向电流，其激活与失活过程较为迅速，并呈现电压依赖性，在-50 mV被激活，在-30 mV时电流出现峰值，然后随刺激电压增大迅速减小。

2.2 缺血液对豚鼠心室肌细胞I_{Na}电流的影响

缺血液灌流10 min后记录的I_{Na}峰电流及电流

密度[(1734.3 ± 211.8)PA, (23.7 ± 3.0)PA/PF]与台式液灌流组[(8360.8 ± 628.4)PA, (119.4 ± 8.9)PA/PF]相比明显减低($P < 0.05$)。

2.3 不同浓度PCr对缺血豚鼠心室肌细胞I_{Na}电流的影响

随缺血液中PCr浓度的增加, I_{Na}峰电流与电流密度逐渐增加。与模拟缺血液组相比, 5, 10, 20, 30 mmol·L⁻¹浓度PCr的缺血液组I_{Na}峰电流密度明显增加。在0~10 mmol·L⁻¹内增加幅度最大, PCr浓度为0, 5, 10 mmol·L⁻¹时3者峰电流及电流密度差异具有统计学意义($P < 0.05$)。浓度>10 mmol·L⁻¹后I_{Na}峰电流及电流密度反而有所降低。10与20, 30 mmol·L⁻¹之间差异具有统计学意义($P < 0.05$), 结果见表1和图1。

表1 不同灌流液组的I_{Na}峰电流及电流密度($n=8$, $\bar{x} \pm s$)

Tab 1 Peak I_{Na} current and current density of different solution($n=8$, $\bar{x} \pm s$)

灌流液组(细胞数)	I _{Na} 峰电流/PA	I _{Na} 峰电流密度/PA/PF
台氏液	8360.8 ± 628.4	119.4 ± 8.9
缺血液	1734.3 ± 211.8	23.7 ± 3.0
缺血液+5 mmol·L ⁻¹ PCr	$3523.5 \pm 384.2^{1)(2)}$	$52.4 \pm 5.6^{1)(2)}$
缺血液+10 mmol·L ⁻¹ PCr	$5803.7 \pm 433.5^1)$	$83.2 \pm 6.4^1)$
缺血液+20 mmol·L ⁻¹ PCr	$5112.4 \pm 461.7^{1)(2)}$	$72.8 \pm 6.6^{1)(2)}$
缺血液+30 mmol·L ⁻¹ PCr	$4835.4 \pm 396.4^{1)(2)}$	$68.5 \pm 5.7^{1)(2)}$

注: 与缺血液组比较, ¹⁾ $P < 0.05$; 与缺血液+10 mmol·L⁻¹ PCr组比较,

²⁾ $P < 0.05$

Note: Compared with simple ischemic solution group, ¹⁾ $P < 0.05$; compared with ischemic solution+10 mmol·L⁻¹ PCr group, ²⁾ $P < 0.05$

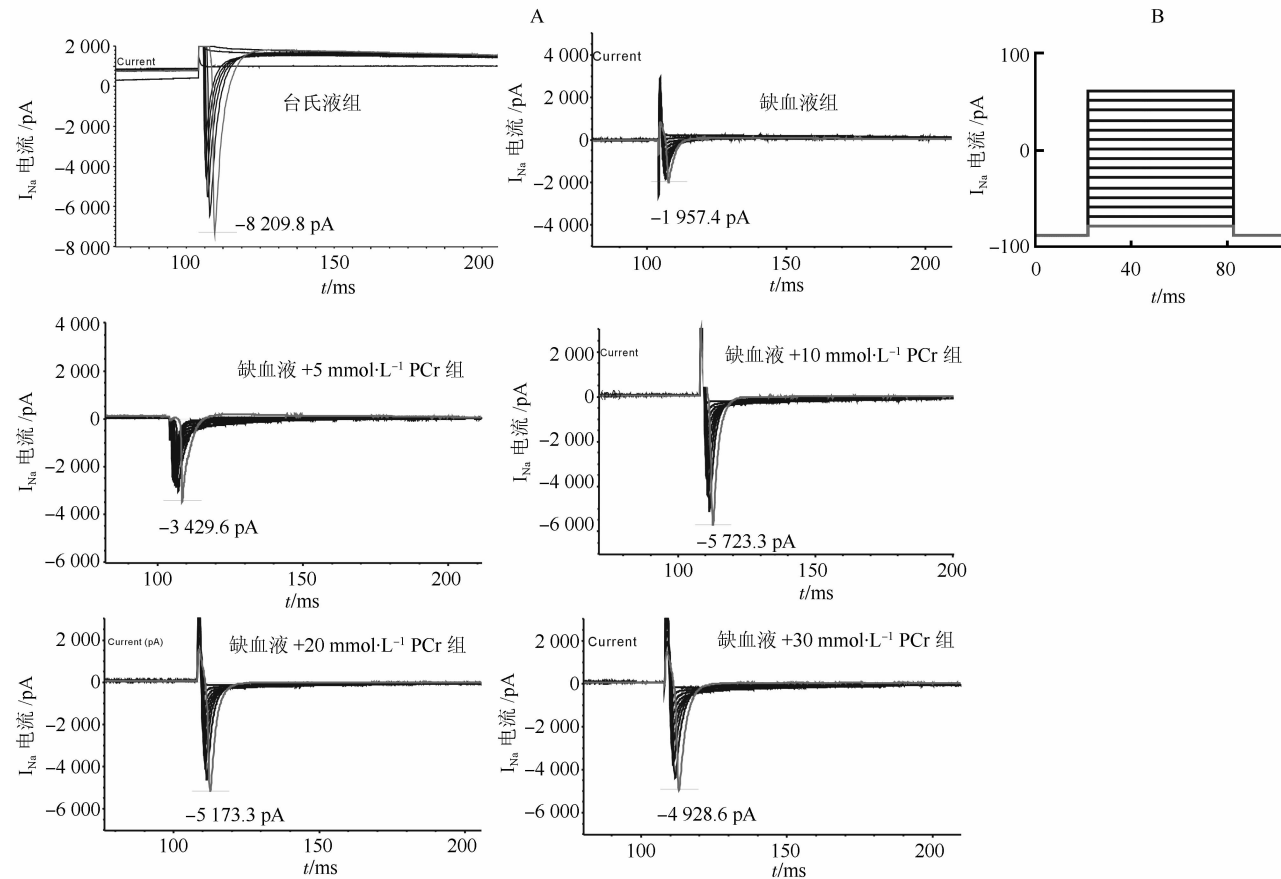


图1 不同灌流液对豚鼠心室肌细胞I_{Na}电流的影响

A—I_{Na}电流变化图; B—记录I_{Na}电流的激发脉冲

Fig 1 I_{Na} current curves of different group

A—I_{Na} current; B—depolarizing pulses

2.4 不同灌流液对豚鼠心室肌细胞I_{Na}电流密度I-V曲线的影响

与台氏液相比, 缺血液以及含不同浓度磷酸

肌酸缺血液组, 其I_{Na}通道I-V曲线上移, 但激活电位, 峰值电位及I-V曲线形态无改变, 结果见图2。

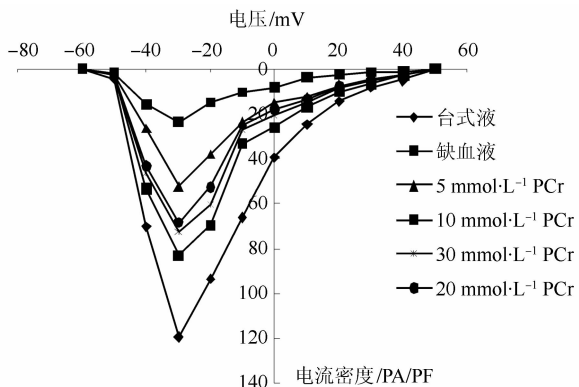


图2 不同液体灌流后对豚鼠心室肌细胞 I_{Na} 电流 I-V 曲线的影响

Fig 2 The effect of different superfusion solutions on current-voltage relationship of I_{Na}

3 讨论

I_{Na} 是心肌细胞上的重要离子通道，在心房及心室的快反应细胞， Na^+ 经 I_{Na} 内流形成动作电位的上升支，它在维持细胞的兴奋性，传导性方面具有重要作用，直接影响着心肌细胞 0 相除极和细胞间的电传导速度， I_{Na} 通道异常是引起恶性室性心律失常的重要原因。

本研究观察到状态良好的心室肌细胞在台氏液灌流 30 min 内 I_{Na} 电流密度无明显衰减。在模拟缺血条件下，豚鼠心室肌细胞 I_{Na} 峰电流密度明显降低，由 (119.4 ± 8.9) PA/PF 降至 (23.7 ± 3.0) PA/PF，减少近 80%，从而使内流 Na^+ 显著降低，这可能是缺血时心律失常的主要原因。 I_{Na} 受抑制的原因可能与细胞内钠超载，酸中毒，氧化应激有关^[3]。缺血时心肌内 ATP 含量降低，ADP 逐渐累积，细胞为了维持 ATP 浓度，ADP 与 PCr 通过 Lomman 反应合成 ATP(ADP+PCr→ATP+Cr)，该反应与 ATP 水解密切相关，缺血时两者综合的最终结果是 PCr→Cr+Pi，PCr 逐渐减少^[4]，PCr 是 ATP 的储存和转运形式，通过“PCr 穿梭”来实现细胞内能量的传递，因此在缺血时补充外源性 PCr 是增加细胞内 ATP 含量的有效措施。

Conway 等^[5]发现 ^{14}C , ^{97}P 标记的 PCr 可以穿透心肌细胞膜并渗入细胞内的高能磷酸化合物中，缺血时这种穿透能力增强。通过 Lomman 反应 PCr 可以作为底物直接促进细胞内 ATP 的合成，纠正细胞内环境紊乱，这可能是其促进 I_{Na} 恢复的机制。本研究观察到在模拟缺血液中加入不同浓度的 PCr 后，细胞的 I_{Na} 峰电流及电流密度均有增加，Perepech 等^[6]发现在急性心肌梗塞 6 h 之内给

予 PCr 治疗，或急性心梗时 PCr 配合溶栓治疗较单纯溶栓均能明显减低心律失常的发生。提示 PCr 对缺血后 I_{Na} 通道的恢复具有重要作用。

PCr 如果单纯作为底物促进 ATP 合成则需求量较大，而本研究采用的 4 种浓度远不能满足上述需求，推测 PCr 通过底物以外其他机制促进了 ATP 的合成。可能与 PCr 抑制 5'-核苷酸酶，保护了细胞内剩余的核苷酸池有关^[7]。本研究发现 PCr 的浓度并非与 I_{Na} 峰电流密度的增加呈直线相关，在 0~10 $mmol\cdot L^{-1}$ 时，随浓度增加 I_{Na} 电流密度迅速增加，在 10 $mmol\cdot L^{-1}$ 时达到峰值，继续增加浓度后反而出现轻度下降，且 20, 30 $mmol\cdot L^{-1}$ 与 10 $mmol\cdot L^{-1}$ 相比差异具有统计学意义，说明高浓度 PCr 对 I_{Na} 通道电流具有一定的抑制作用。该结果提示在 0~10 $mmol\cdot L^{-1}$ 阶段，PCr 能够逐渐发挥底物以及腺嘌呤核苷酸池的保护作用，使细胞内 ATP 的转化速度加快，从而缓解酸中毒，减少细胞内，外钠和钾的积聚，以及恢复 Na^+-K^+ 泵功能，上述效应反应在 I_{Na} 电流密度的增加上呈现明显的量效关系。PCr 在 10 $mmol\cdot L^{-1}$ 可充分发挥底物以及保护核苷酸池的作用，同时通过区室化效应使细胞膜 I_{Na} 通道局部 ATP 合成达到平台^[8]。增加浓度并不能使细胞内 ATP 含量进一步增加，反而对 I_{Na} 有直接抑制作用。这与众多临床研究证实 10 $mmol\cdot L^{-1}$ PCr 是最适浓度相一致^[9]。Robbison 等^[10]以及 Pastoris 等^[11]，Chambers 等^[12]在早期研究中发现心外科患者停跳液中予 10 $mmol\cdot L^{-1}$ PCr 是最适浓度，增加浓度并不能进一步减少心律失常。10 $mmol\cdot L^{-1}$ 以后继续增加浓度 I_{Na} 峰电流密度减低的机制可能与 PCr 本身对 I_{Na} 有轻度抑制有关，Kryzhanovskii 等^[13]发现 PCr 能够抑制快钠离子，具有类似 I 类抗心律失常药物的作用。提示在治疗过程中并非 PCr 浓度越高越好。10 $mmol\cdot L^{-1}$ 浓度的磷酸肌酸即可有效恢复 I_{Na} 电流，改善兴奋性及传导，减少心律失常的发生。

采用含 10 $mmol\cdot L^{-1}$ 的 PCr 灌流后 I_{Na} 的峰电流密度与台氏液灌流的正常组相比仍有 30% 的差距，原因可能与缺血液组低氧对 I_{Na} 通道的抑制，以及细胞内 ATP 合成速度， Na^+-K^+ 泵的恢复，细胞内外酸中毒的改善，静息电位不能完全恢复至正常水平有关。本研究证实外源性 PCr 能明显增加缺血时受抑制的 I_{Na} 峰电流及电流密度，这可能是其增加缺血心室肌细胞 0 相的除极速度与幅度，

加快细胞间传导，抑制折返形成，并有效预防恶性心律失常的主要机制。PCr 在低浓度(0~10 mmol·L⁻¹)对 I_{Na} 峰电流及电流密度的影响呈现明显的量效关系。

REFERENCES

- [1] FOZZARD H, HANCK D. Voltage-gated Na channel selectivity: the role of the conserved domain III lysine residue [J]. J Gen Physiol, 2008, 131(6): 523-529.
- [2] HAMIL O. Twenty odd years of stretch-sensitive channels [J]. Pflugers Arch, 2006, 453(3): 331-351.
- [3] FUKUDA K, DAVIES S, NAKAJIMA T, et al. Oxidative mediated lipid peroxidation recapitulates proarrhythmic effects on cardiac sodium channels [J]. Circ Res, 2005, 97(12): 1262-1269.
- [4] GRZYB K, SKORKOWSKI E F. Creatine kinase isoenzymes-characterization and functions in cell [J]. Postepy Biochem, 2008, 54(3): 274-283.
- [5] CONWAY M, ALLIS J, OUWERKERK R, et al. Detection of phosphocreatine to ATP ratio in failing hypertrophied human myocardium by ³¹P magnetic resonance spectroscopy [J]. Lancet, 1991, 338(8773): 973-976.
- [6] PEREPECH N, NEDOSHIVIN A, NESTEROVA I, et al. Potential use of exogenous phosphocreatine (neoton) in the combined therapy of cancer complicated with cardiovascular diseases [J]. Vopr Onkol, 2006, 52(1): 112-115.
- [7] SAKS V. The phosphocreatine-creatine kinase system helps to shape muscle cells and keep them healthy and alive [J]. J Physiol, 2008, 586(Pt 12): 2817-2818.
- [8] MENIN L, PANCHICKINA M, KERIEL C, et al. Macrocompartmentation of total creatine in cardiomyocytes revisited [J]. Mol Cell Biochem, 2001, 220(1/2): 149-159.
- [9] BROSNAN J T, BROSNAN M E. Creatine: endogenous metabolite, dietary, and therapeutic supplement [J]. Annu Rev Nutr, 2007(27): 241-261.
- [10] ROBINSON L, BRAINBRIDGE M, HEARSE D, et al. Creatine phosphate: an additive myocardial protective and antiarrhythmic agent in cardioplegia [J]. J Thorac Cardiovascular Surg, 1984, 87(2): 190-200.
- [11] PASTORIS O, DOSSENA M, VERCESI L, et al. Biochemical changes induced in the myocardial cell during cardioplegic arrest supplemented with creatine phosphate [J]. J Cardiothorac Vasc Anesth, 1991, 5(5): 475-480.
- [12] CHAMBERS D, HAIRE K, MORLEY N, et al. St. Thomas' Hospital cardioplegia: enhanced protection with exogenous creatine phosphate [J]. Ann Thorac Surg, 1996, 61(1): 67-75.
- [13] KRYZHANOVSKII S, KACHARAVA V, MARKO R, et al. Electrophysiologic study of the anti-arrhythmic mechanism of action of phosphocreatine in acute myocardial ischemia and reperfusion [J]. Kardiologiiia, 1991, 31(11): 66-69.

收稿日期：2013-02-19

槲皮素-铝配位分子印迹聚合物的制备及其结合特性研究

贾宝秀，谷志亮，李玉琴，齐永秀，李珂，刘彩红(泰山医学院药学院，山东 泰安 271016)

摘要：目的 制备槲皮素-Al(Ⅲ)配位分子印迹聚合物，并对其特性进行研究，为分子印迹技术和生物识别过程及机理的进一步理解奠定基础。**方法** 以α-甲基丙烯酸为功能单体、槲皮素-Al(Ⅲ)配合物为模板分子在甲醇中合成金属配位键的印迹聚合物，通过紫外光谱、红外光谱、透射电镜分析及吸附试验对聚合物进行表征及性能研究。**结果** 紫外光谱表明，槲皮素、Al(Ⅲ)与α-甲基丙烯酸发生了三元配位作用，槲皮素-Al(Ⅲ)模板印迹聚合物对槲皮素-Al(Ⅲ)的配合物表现出明显的吸附选择性和特异性。**结论** 制备的槲皮素-Al(Ⅲ)金属配位印迹聚合物对槲皮素-Al(Ⅲ)配合物具有特异的识别作用，在分离、检测样品中的槲皮素方面具有较好的应用前景。

关键词：槲皮素；铝离子；分子印迹技术；识别特性

中图分类号：R943

文献标志码：B

文章编号：1007-7693(2014)01-0017-06

Preparation of Quercetin-Al(III) Complex Molecularly Imprinted Polymer and Its Binding Characteristics

JIA Baoxiu, GU Zhiliang, LI Yuqin, QI Yongxiu, LI Ke, LIU Caihong(College of Pharmaceutical, Taishan Medical University, Tai'an 271016, China)

ABSTRACT: OBJECTIVE To prepare molecularly imprinting polymer (MIP) of quercetin-Al(Ⅲ) complex by using molecular imprinting technique(MIT), and study its binding characteristics. **METHODS** Using Al(Ⅲ)-quercetin complex as

基金项目：泰安市科技发展计划项目(20122054)

作者简介：贾宝秀，女，硕士，讲师 Tel: (0538)6229751 E-mail: jiabaoxiu@163.com